

FAG

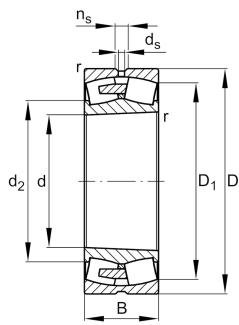
23256-BEA-XL-K-MB1-C4

Rodamiento oscilante de rodillos

Rodamiento oscilante de rodillos 232...-BEA-XL-K-MB1, simétrico, dos bordes exteriores con disco lateral

X-life

Información técnica



Variante de su producto actual

Ejecución	BEA	Con anillo de labio sin centro
Tipo de agujero	K	Cónico, conicidad 1:12
Jaula	MB1	Jaula maciza de latón
Juego radial del rodamiento	C4 (Group 4)	Internal clearance larger than C3
Función de relubricación	Norma	Estándar

Medidas principales y datos de rendimiento

d	280 mm	Diámetro del agujero
D	500 mm	Diámetro exterior
B	176 mm	Anchura
C _r	3.550.000 N	Capacidad de carga dinámica, radial
C _{0r}	5.200.000 N	Capacidad de carga estática, radial
C _{ur}	395.000 N	Límite de carga por fatiga, radial
n _G	1.280 1/min	Velocidad límite de rotación
n _{gr}	630 1/min	Velocidad de referencia
m	142,72 kg	Peso



Medidas de montaje

$d_{a \min}$	300 mm	Diámetro mínimo resalte del eje
$D_{a \max}$	480 mm	
$r_{a \max}$	4 mm	Radio máximo de la ranura
$d_{a \max}$	329 mm	Diámetro máximo del resalte del eje
$d_{b \min}$	299 mm	Diámetro mínimo de la cavidad del casquillo
$B_{a \min}$	11 mm	Anchura mínima de la cavidad del casquillo

Medidas

r_{\min}	5 mm	Medidas mínimas del chaflán
D_1	425,4 mm	Diámetro del agujero del anillo exterior
d_s	12,5 mm	Diámetro del agujero de engrase
n_s	23,5 mm	Anchura de la ranura de lubricación

Rango de temperatura

T_{\min}	-30 °C	Temperatura mín. de funcionamiento
T_{\max}	200 °C	Temperatura máx. de funcionamiento

Factores de cálculo

e	0,34	Valor límite de F_a/F_r para la aplicabilidad de dif. Valores de los factores X e Y
Y_1	1,96	Factor de carga axial dinámica
Y_2	2,92	Factor de carga axial dinámica
Y_0	1,92	Factor de carga axial estática

Información adicional

H2356X	Manguito de fijación
AH2356G	Withdrawal sleeve



Características

-  Carga radial
-  Carga axial en un sentido
-  Carga axial en ambos sentidos
-  Lubricación con grasa
-  Lubricación con aceite
-  No obturado
-  Gran rodamiento
-  Errores de alineación estáticos
-  Errores de alineación dinámicos